

## مطالعه پوشش‌های ضدبازتاب تک لایه، چندلایه و کامپوزیتی سیلیکا – تیتانیا تهیه شده به روش سل-ژل

نجمه لاری<sup>۱</sup>، شاهرخ آهنگرانی<sup>۱</sup>، علی شانقی<sup>۲</sup>

<sup>۱</sup> پژوهشکده مواد پیشرفته و انرژی‌های نو، سازمان پژوهش‌های علمی و صنعتی ایران، <sup>۲</sup> دانشکده مهندسی مواد، دانشگاه ملایر

n1lari@yahoo.com

### چکیده:

یکی از روش‌های افزایشیازدهی جمع‌کننده‌های خورشیدی در نیروگاه‌های حرارتی ایجاد پوشش‌های ضد بازتاب بر سطح شیشه‌های محافظت دریافت کننده‌های خورشیدی می‌باشد. در پژوهش حاضر، پوشش‌های تک لایه، دو لایه، چندلایه و کامپوزیت سیلیکا و تیتانیا تهیه شده به روش سل-ژل بر سطح شیشه به منظور کاربرد ضدبازتابی بررسی گردید. برای بررسی پوشش‌ها از طیف‌نگاری عبور (UV-VIS)، مادون‌قرمز (FT-IR) و میکروسکوپ الکترونی روبشی (FE-SEM) استفاده شد. نتایج به دست آمده نشان داد، پوشش‌ها به روش سل-ژل به خوبی بر سطح شیشه تشکیل شده‌اند. هر چند پوشش‌های کامپوزیت عبور نور بالا بی نداشتند، اما پوشش‌های سیلیکا، سه لایه سیلیکا-تیتانیا-سیلیکا و شش لایه تیتانیا-سیلیکا-تیتانیا-سیلیکا بیشینه عبوری در حد ۹۹٪ که تقریباً ۰.۱ بیشتر از شیشه بدون پوشش است، از خود نشان دادند. به کارگیری پوشش‌ها با ضرایب شکست مناسب و قرارگیری مطلوب لا یهه بر سطح شیشه علت افزایش میزان عبور است. استفاده از این پوشش‌های ضدبازتاب اقتصادی در نیروگاه‌های خورشیدی، کمک شایانی در جهت تولید برق بیشتر خواهد کرد.

### اطلاعات مقاله:

دریافت: ۲۸ مهر ۱۳۹۳

پذیرش: ۵ تیر ۱۳۹۴

### کلید واژه:

پوشش ضدبازتاب، شیشه محافظ  
دریافت کننده خورشیدی، سیلیکا،  
تیتانیا، چندلایه، کامپوزیت، سل-  
ژل.

پوشش شیشه‌ای بر بالای سطح فلزی دریافت کننده تعییه می‌نمایند تا به ایجاد تأثیرگلخانه‌ای کمک نماید. هرچند استفاده از شیشه‌های محافظت دریافت کننده‌ها مطلوب می‌باشد، اما چون سطح شیشه دارای ۸-۱۰٪ بازتاب نوری است و از عبور کامل نور جلوگیری می‌کند، لذا بازدهی جمع کننده‌های خورشیدی را کاهش می‌دهد [۱-۲]. در این تحقیق هدف برآن است، با افزایش بازدهی انرژی خورشیدی از طریق اصلاح سطح شیشه‌های دریافت

### ۱- مقدمه

نیروگاه‌های خورشیدی که انرژی خورشید را به برق تبدیل می‌کنند، امید است در آینده با مزایای قاطعی که در برابر نیروگاه‌های فسیلی و اتمی دارند، بتوانند مشکل برق بخصوص در دوران اتمام ذخایر نفت و گاز را حل نمایند. برای افزایش کارایی دریافت کننده‌های خورشیدی به شیوه‌های مختلفی عمل می‌کنند. یکی از این روش‌ها، یک



طول موج ۵۵۰ نانومتر برای ضخامت ۱۰۰ نانومتر است. بیشترین افزایش در عبور پوشش به میزان ۶ درصد ( $57/5\%$ ) در طول موج ۵۰۰ نانومتر مشاهده شد [۱۰]. زا و همکارانش<sup>۳</sup> پوشنش‌های دولایه سیلیکا با ضریب شکست  $1/42$  و  $1/14$  بر سطح شیشه با استفاده از روش پوشش‌دهی غوطه‌وری و استفاده از افزودنی P123 تولید کردند. اندازه‌گیری نوری عبور پوشش دو لایه نشان داد، رفتار ضدبازتابی موثری در محدوده طول موج  $400-900$  نانومتر با حداکثر عبور  $2/99\%$  در  $520$  نانومتر به دست آمده است [۱۱]. اسچولر و همکارانش<sup>۴</sup> به روش سل-ژل فیلم‌های نازک بر کالکتورهای خورشیدی از مخلوط اکسید تیتانیم و اکسید سیلیسیم تهیه کردند. چند لایه‌ای‌های  $TiO_2/SiO_2$  با کیفیت بالا به دست آمد و چون محیط عاری از ذرات بود، نقص به علت وجود ذرات گرد و خاک در هوا ایجاد نگردید. تمام طیف‌های عبور رفتار نوسانی با بیشینه عبور  $91\%$  از خود نشان می‌دهند [۱۲]. بی و همکارانش<sup>۴</sup> پوشش سه لایه ضدبازتاب  $SiO_2/TiO_2/SiO_2-TiO_2$  مقاوم به سایش به دست آورند. سیلیکا با ضریب شکست  $1/44$  لایه بالایی، تیتانیا با ضریب شکست  $2/2$  لایه وسط و کامپوزیت تیتانیا- سیلیکا با ضریب شکست  $1/71$  لایه زیرین در نظر گرفته شد. بیشینه عبور این پوشش تقریباً  $98/4\%$  می‌باشد [۱۳]. اخیراً رویکرد پوشش‌های ضدبازتاب به سمت استفاده از پوشش‌های چندلایه و کامپوزیت تیتانیا- سیلیکا است. با وجود تحقیقات انجام شده در این زمینه، عموماً از یک تا سه لایه پوشش ضدبازتاب بررسی شده است [۱۳-۱۵]. در

کننده‌های جاذب نور خورشید به وسیله پوشش‌دهی لایه‌های نانو ساختار گامی بزرگ در جهت خودکفایی کشور و استفاده مؤثر از انرژی پایان ناپذیر خورشید انجام داد. با اعمال این پوشش، نور کمتری بازتاب و همچنین نور در طول موج‌های بیشتری امکان جذب دارد. مواد معمول برای تهیه پوشش ضدبازتاب سیلیکا با ضریب شکست پایین  $1/4$  و تیتانیا با ضریب شکست بالا در حدود  $2/3$  می‌باشد. باید در نظر داشت، چون هزینه پوشش‌دهی این شیشه‌ها به روش سل-ژل پایین می‌باشد و توجیه اقتصادی دارد [۶-۳]. بدین منظور در این تحقیق از این روش استفاده شده است. محاسبات ضریب شکست و تعداد لایه‌ها نشان می‌دهد، پوشش‌های چند لایه در کاهش میزان عبور نور بهتر از پوشش‌های دو و تک لایه عمل می‌کنند [۸-۷]. همچنین باید گفت، مخلوط فیلم‌های آمورف سیلیکا-تیتانیا رنج وسیعی از ضرایب شکست را به دست می‌آورند. زیرا اختلاف زیادی بین ضرایب شکست دو جز وجود دارد. این خاصیت منجر به آماده سازی وسایل نوری بسیاری مانند پوشش‌های ضدبازتاب، موج برهای غیر فعال یا فعال و غیره می‌شود [۹].

مهادیک و همکارانش<sup>۱</sup> پوشش ضدبازتاب تک لایه سیلیکا حاوی پلی اتیلن گلیکول و تریتون تولید کردند. مورفولوژی سطح این پوشش صاف، عاری از ترک و همراه با نانو تخلخل گزارش شده است. مطالعات طیف نگاری مادون قرمز (FT-IR) نشان داد، تجزیه حرارتی گروه متیل در دمای زیتر، به شکل گیری نانو حفرات کمک کرده است. پوشش ضدبازتاب بهینه دارای ضریب شکست  $1/39$  در

<sup>2</sup> Zha et al.

<sup>3</sup> Schulera et al

<sup>4</sup> Ye et al.

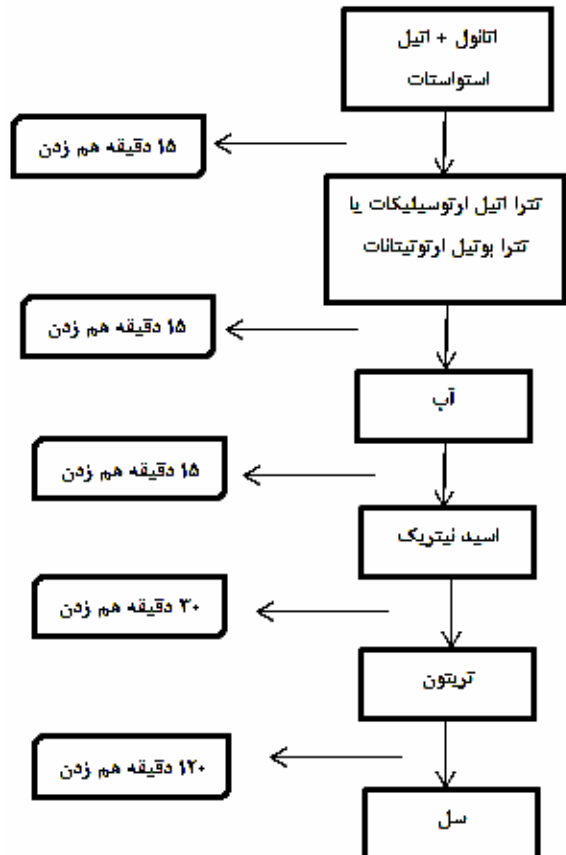
<sup>1</sup> Mahadik et al.



$\text{H}_2\text{O}$ : EtOH: TEOS:  $\text{HNO}_3$  = 1:3.5:0.175:0.01

TBT: EtOH: H<sub>2</sub>O: HNO<sub>3</sub> = 1: 114: 2: 0.32

نحوه فراوری سل‌ها مطابق شکل ۱ می‌باشد. برای هم زدن محلول از دستگاه همزن مغناطیسی با سرعت ۲۵۰ rpm انسفاراده شد.



### شکل ۱- نحوه آماده سازی سل های سیلیکا و تیتانیا

برای تهیه سل‌های کامپوزیت، سل‌های تیتانیا و سیلیکا همانند قبل تهیه و بر حسب درصد حجمی مطابق جدول ۱ آماده گردیدند. پس از آماده سازی سل‌ها، به مدت یک ساعت با سرعت  $250\text{ rpm}$  به وسیله دستگاه همزن مغناطیسی همزد شدند. سپس تمامی سل‌ها به مدت ۲۴ ساعت به منظور پیر سازی در محیط نگه داشته شدند.

تحقيق حاضر، علاوه بر بررسی پوشش‌های تک، دو و سه لایه، پوشش‌های چهار و شش لایه تیتانیا-سیلیکا نیز بررسی گردیدند. همچنین در این پژوهش پوشش‌های کامپوزیت تیتانیا-سیلیکا به منظور مقایسه با پوشش‌های چندلایه تهیه شدند. در مجموع بررسی جامعی بر این پوشش‌ها در این مقاله ارائه شده است.

۲- روشن تحقیق

۱-۲ مواد اولیه

ترالايل ارتواستات (TEOS, Merck Chemicals) ، تربوتيل اروتينات (800658, purity > 98%) ، TBOT, Merck Chemicals (821084), purity ) ، اتانول خالص (EtOH, Merck Chemicals )، آب مقطر، اتيل استواستات (107017), absolute grade Chemicals (809622) ، Sigma-AldrichEAA, ) ، اسيد نيتريك (HNO<sub>3</sub>, Merck )، purity 99% ، تريتون (Chemicals (100456), purity 65% ، Sigma-Aldrich Chemicals purity 99% (100).

## ۲-۲- ساخت سل‌های سیلیکا، تیتانیا و کامیوزیت تیتانیا-سیلیکا

برای ساخت سل‌ها از ترا اتیل ارتوسیلیکات، ترا بوتیل ارتوتیتانات، آب مقطر، اتانول خالص، اسید نیتریک به عنوان کاتالیست و از اتیل استواتات به عنوان جمع کننده استفاده گردید. همچنین در محلول‌ها از تربیتون به مقدار ۴۰ گرم بر لیتر به عنوان یک عامل سورفکانت غیر یونی تخلخل زا مورد استفاده قرار گرفت [۱۶]. سل‌های تیتانیا و سیلیکا با نسبت‌های مولیزیر آماده گردیدند:



پس از پوشش دادن، نمونه‌ها مدتی در هوای محیط قرار گرفته تا خشک و بعد به کوره قابل برنامه‌ریزی (ML1250) ساخت ایران منتقل شدند. توسط این کوره عملیات حرارتی در دماهای ۱۲۰، ۲۷۰ و ۴۵۰ درجه سانتی‌گراد به مدت ۳ ساعت انجام گردید.

### ۴-۲- بررسی پوشش‌ها

به منظور بررسی رفتار نوری پوشش‌ها از دستگاه طیف‌سنجی UV-VIS (Jasco V-570) استفاده گردید. دستگاه اسپکتروفوتومتر یا طیف‌سنجی در واقع برهم کنش نور با ماده را مورد بررسی قرار می‌دهد. عموماً منابع نوری قابل استفاده در این دستگاه یک لامپ هالوژن تنگستن، برای نور مرئی و یک لامپ دوتریم برای نور UV می‌باشد<sup>[۱۷]</sup>. میزان عبور توسط این دستگاه در محدوده طول موج ۳۰۰-۹۰۰ نانومتر اندازه گیری شد. به منظور بررسی گروه‌های عاملی به وجود آمده بر سطح پوشش از دستگاه طیف‌نگاری مادون قرمز (Jasco V-550) استفاده شد. طیف‌نگاری جذب در محدوده ۲۲۰۰-۴۰۰ cm<sup>-۱</sup> انجام شد. همچنین به منظور بررسی مورفولوژی، اندازه ذرات و ضخامت از میکروسکوپ الکترونی روبشی- SEM (MIRA II LMU) بهره گرفته شد.

### ۳- نتایج و بحث

#### ۳-۱- طیف‌نگاری مادون قرمز پوشش‌ها

طیف‌نگاری مادون قرمز پوشش‌های تک و چند لایه در شکل ۲ ملاحظه می‌شود. اگر سیلیکا و تیتانیا با هم در پوشش حضور داشته باشند، به طور خلاصه پیک‌های جدول ۳ وجود دارند [۱۸-۳۰].

جدول ۱- شرایط سل‌ها و پوشش‌های کامپوزیت تیتانیا- سیلیکا

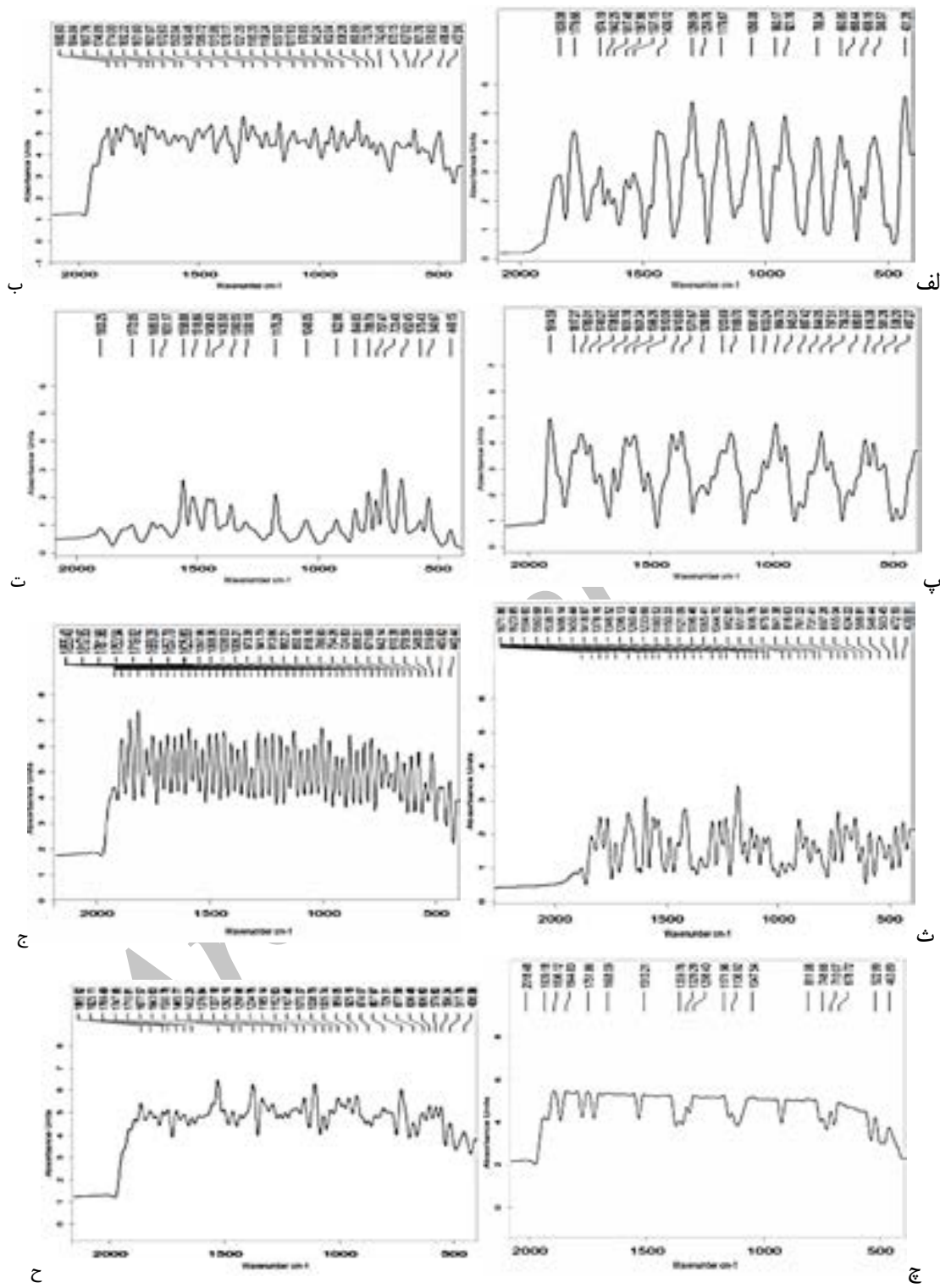
نمونه	سل‌های کامپوزیت
S90-T-10	۹۰٪ سل سیلیکا- ۱۰٪ سل تیتانیا
S70-T-30	۷۰٪ سل سیلیکا- ۳۰٪ سل تیتانیا
S50-T-50	۵۰٪ سل سیلیکا- ۵۰٪ سل تیتانیا
S30-T-70	۳۰٪ سل سیلیکا- ۷۰٪ سل تیتانیا
S10-T-90	۱۰٪ سل سیلیکا- ۹۰٪ سل تیتانیا

#### ۳-۲- پوشش‌دهی و عملیات حرارتی

پس از پیرسازی، عملیات پوشش‌دهی غوطه‌وری توسط دستگاه Dip Coater محصول شرکت ایرمان تک سپاهان انجام شد. لامهای آزمایشگاهی ابتدا توسط آب مقطر و سپس اتانول شسته و خشک شدند. به منظور پوشش‌دهی، سرعت رفت و برگشت ۲۵ میلی‌متر بر دقیقه و زمان غوطه‌وری ۳۰ ثانیه در نظر گرفته شد. نحوه قرارگیری لایه‌ها در پوشش‌های چندلایه در جدول ۲ و پوشش‌های کامپوزیت در جدول ۱ مشاهده می‌شود. در عنوانین پوشش‌ها، S نماد سیلیکا و T نماد تیتانیا می‌باشد.

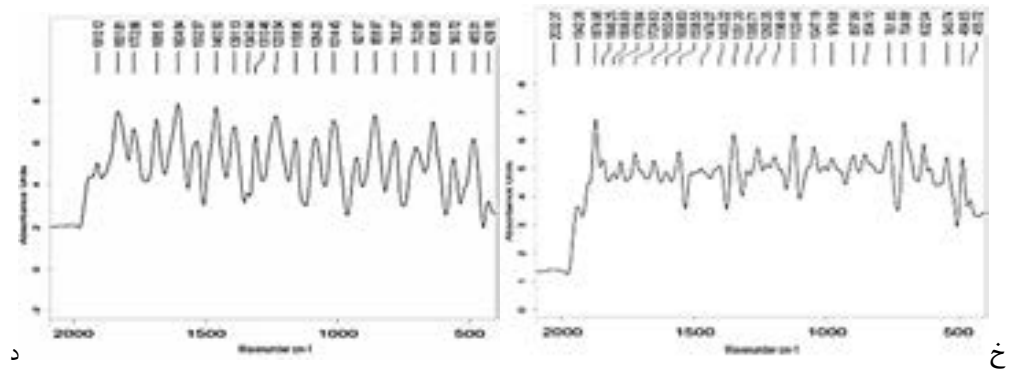
جدول ۲- پوشش‌های تک و چندلایه تیتانیا- سیلیکا

نمونه	ساختار
S	سیلیکا
ST	سیلیکا- تیتانیا
STS	سیلیکا- تیتانیا- سیلیکا
STST	سیلیکا- تیتانیا- سیلیکا- تیتانیا
STSTST	سیلیکا- تیتانیا- سیلیکا- تیتانیا- سیلیکا- تیتانیا
T	تیتانیا
TS	تیتانیا- سیلیکا
TST	تیتانیا- سیلیکا- تیتانیا
TSTS	تیتانیا- سیلیکا- تیتانیا- سیلیکا
TSTSTS	تیتانیا- سیلیکا- تیتانیا- سیلیکا- تیتانیا- سیلیکا



شکل ۲- طیف نگاری مادون قرمز پوشش‌های

الف) S, ب) ظ, پ) ظ, ج) ظ, د) TSTS, ئ) TST, ة) TS, ئ) STS, ئ) STST, ئ) STSTST, ئ) TSTSTS



ادامه شکل ۲

۱۲۹۹ $\text{cm}^{-1}$  مربوط به ارتعاشات C-O-C می‌باشد. در پوشش ST، پیک‌های سیلیکا بین ۱۰۰۰-۱۲۵۰ $\text{cm}^{-1}$  موجود است. برخی از پیک‌های موجود در [۳۰-۲۹] ۹۰۰-۵۰۰ $\text{cm}^{-1}$  مربوط به تیتانیا می‌باشد. پیک [۲۸-۲۶] ۹۴۵ $\text{cm}^{-1}$  مربوط به تداخل ضعیف Si-O-Ti می‌باشد. پیک نسبتاً قوی این نمودار در [۲۲] ۱۳۷۸ $\text{cm}^{-1}$  مربوط به پیوند سیلیکا در C-O-C می‌باشد. در پوشش STS، پیوند سیلیکا در ۱۰۳۳ $\text{cm}^{-1}$  از شدت بالایی برخودار می‌باشد. پیک‌های سیلیکایی قوی دیگری نیز چون [۲۳] ۱۱۶۹ $\text{cm}^{-1}$  و ۷۹۷ $\text{cm}^{-1}$  وجود دارند. پیک قوی [۳۰-۲۹] ۶۱۶ $\text{cm}^{-1}$  مربوط به تیتانیا می‌باشد. در این پوشش Ti-O-Si در [۲۸-۲۶] ۹۴۵ $\text{cm}^{-1}$  داده که نسبتاً پیک ضعیفی است. در پوشش STST، پیک Si-Ti-O-Si در [۲۸-۲۶] ۹۲۲ $\text{cm}^{-1}$  از شدت بیشتری نسبت به پیوند سیلیکا برخوردار می‌باشد. پیک قوی در [۳۰-۲۹] ۷۸۹ $\text{cm}^{-1}$  و ۷۵۷ $\text{cm}^{-1}$  مربوط به تیتانیا می‌باشد. پیک‌های نمودارهای S و STS تقریباً مشابه می‌باشند. با این تفاوت که در STS به علت افزایش ضخامت به سمت طول موج‌های بزرگ‌تر سوق پیدا کرده است. پیک‌ها در نمودارهای ST و STS از شدت بیشتری نسبت به STSTST و STSTSTST برخوردار می‌باشند. لذا نشان دهنده تشکیل

جدول ۳- گروه‌های عاملی موجود در اثر حضور همزمان سیلیکا و تیتانیا

گروه‌های عاملی	عدد موجی ( $\text{cm}^{-1}$ )
SiO-H	۳۶۶۰ (۱۹-۱۸)
O-H (alcohol)	۳۶۰۰-۳۱۰۰ (۱۸)
C-H	۳۰۰۰-۲۸۰۰ (۱۸)
Adsorbed water	۱۶۵۰-۱۶۴۰ (۲۱-۲۰)
(CH <sub>3</sub> ) <sub>2</sub> C	۱۴۵۰ (۲۲ و ۱۹)
8C-H	۱۳۸۰ (۲۲)
C-O-C	۱۳۶۰-۱۲۶۰ (۲۲)
Si-O-Si asymmetric	۱۲۵۰-۱۰۰۰ (۲۵-۲۳)
Si-O-Ti	۹۶۰-۹۲۰ (۲۸-۲۶)
Si-O-Si symmetric	۸۰۰ (۲۳)
Ti-O-Ti	۹۰۰-۵۰۰ (۳۰-۲۹)
Si-O-Si	۴۶۰ (۲۳)

با توجه به پیک‌های یاد شده در جدول ۳ می‌توان گفت، در پوشش S، پیک‌های سیلیکا ۱۱۷۹، ۱۰۵۶ $\text{cm}^{-1}$  و ۱۲۵۹ $\text{cm}^{-1}$  بین [۲۵-۲۳] ۱۰۰۰-۱۲۵۰ $\text{cm}^{-1}$  حضور دارند. حضور عامل‌های سیلیکا نشان دهنده تشکیل پیوند سیلیکا در پوشش در اثر فرایند کندانسیونی باشد. پیک قوی در



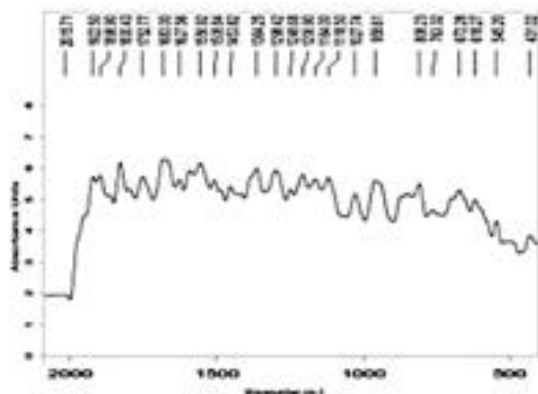
بیشتر پیوندهای چندلایه، پیوند  $Ti-O-Si$  دیده می‌شود. اما در اکثر موارد شدت این پیک ضعیف می‌باشد. همچنین در نمودارهای  $S$  و  $STS$  شدت پیک‌های اضافی دیگر کم می‌باشد.

نتایج طیف نگاری پوشش‌های کامپوزیت در شکل ۳ مشاهده می‌شود. با توجه به نمودارها و توضیحات ارائه شده قبلی می‌توان گفت، در کامپوزیت  $90S-10T$ ، سه پیک تیتانیا در  $30-29$ ،  $540\text{ cm}^{-1}$  و  $739\text{ cm}^{-1}$ ، پیک تیتانیا-سیلیکا در  $28-26$ ،  $968\text{ cm}^{-1}$  و پیک سیلیکا در  $[23]$ ،  $1175\text{ cm}^{-1}$  و  $1213\text{ cm}^{-1}$  مشاهده می‌شود. به ترتیب شدت پیک‌ها از تیتانیا، تیتانیا-سیلیکا و سیلیکا افزایش یافته است. در کامپوزیت  $70S-30T$ ، پیک قوی برای آب جذب شده در  $[21-20]$ ،  $1680\text{ cm}^{-1}$  مشاهده می‌شود. پیک سیلیکا در  $[22]$ ،  $795\text{ cm}^{-1}$  نیز دارای شدت بالایی است و بیشتر از پیک‌های سیلیکا در محدوده  $1000-1250\text{ cm}^{-1}$  می‌باشد. پیک  $Ti-O-Si$  نیز با شدت کمی در  $[28-26]$ ،  $936\text{ cm}^{-1}$  مشاهده می‌شود. در کامپوزیت  $50S-50T$ ، قوی‌ترین پیک در  $[22]$ ،  $1559\text{ cm}^{-1}$  مربوط به ترکیبات آلی دیده می‌شود. شدت پیک‌های  $Ti-O-Si$  و  $Ti-O-Ti$  تقریباً زیاد و بیشتر از  $Ti-O-Si$  می‌باشد. در کامپوزیت  $30S-70T$ ، شدت  $Ti-O-Si$  و  $Ti-O-Ti$  تقریباً برابر است و در مجموع شدت پیک‌ها بیشتر از حالت قبل می‌باشد. در کامپوزیت  $10S-90T$ ، شدت پیک‌ها نسبت به حالت قبل کمتر و تقریباً شدت پیک‌های سیلیکا و تیتانیا مشابه و شدت  $Ti-O-Si$  کم می‌باشد.

بیشتر پیوندها در حالت دو و سه لایه می‌باشد. در پوشش  $STSTST$  شدت پیک‌ها نسبت به پوشش  $STS$  کم می‌باشد و پیک‌های بیشتری روی سطح قرار دارند. قوی‌ترین پیک مربوط به سیلیکا می‌باشد. شدت پیک  $Ti-O-Si$  کمتر از تیتانیا می‌باشد.

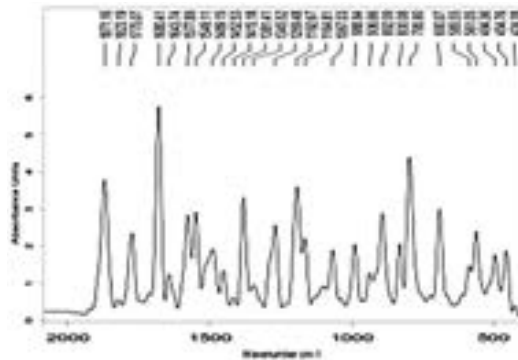
در پوشش  $T$ ، پیک‌های تیتانیا بین  $[30-29]$  تا  $900\text{ cm}^{-1}$  مشاهده می‌شوند. بسیاری از پیک‌های دیگر نیز حضور دارند که نشان از آشفتگی پیوندهای سطح و در نتیجه منجر به پراکندگی نور می‌شوند. اما با لایه نشانی‌های دیگر بر سطح آن، از شدت این پیک‌های مضر کاسته می‌شود. در پوشش  $TS$ ، پیک تیتانیا و سیلیکا تقریباً از شدت برابری برخوردار می‌باشند و شدت  $Ti-O-Si$  ضعیف می‌باشد. در پوشش  $TST$ ، پیک  $Ti-O-Si$  وجود ندارد، پیک‌های سیلیکا در  $[25-23]$ ،  $1047\text{ cm}^{-1}$  و  $1136\text{ cm}^{-1}$  و پیک‌های تیتانیا در  $[30-29]$ ،  $522\text{ cm}^{-1}$  و  $676\text{ cm}^{-1}$  و  $1171\text{ cm}^{-1}$  موجود می‌باشند. تقریباً شدت پیک‌های سیلیکا و تیتانیا برابر است. در پوشش  $TSTS$ ، شدت پیک  $Ti-O-Si$  در  $[28-26]$ ،  $927\text{ cm}^{-1}$  ضعیف می‌باشد. پیک‌های تیتانیا و سیلیکا از شدت بیشتری برخوردارند و تقریباً برابرن. شدت پیک‌ها در نمودار  $TSTS$  بیشتر از  $TSTSTS$  می‌باشد و در طول موج‌های کمتری اتفاق می‌افتد. در پوشش  $TSTSTS$  پیک قوی در  $[30-29]$ ،  $704\text{ cm}^{-1}$  متعلق به تیتانیا می‌باشد. پیک  $Ti-O-Si$  وجود ندارد و پیک‌های سیلیکا به جز پیک  $[23]$ ،  $1123\text{ cm}^{-1}$  مابقی از شدت پایینی برخوردارند.

در کل در همه نمودارهای پوشش‌های چند لایه پیوند مشاهده می‌شود. همچنین تقریباً در  $Ti-O-Ti$  و  $Si-O-Si$

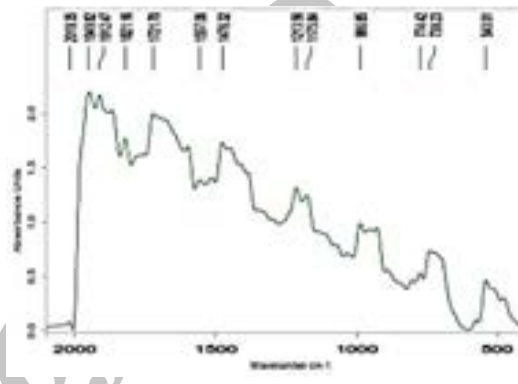


ث

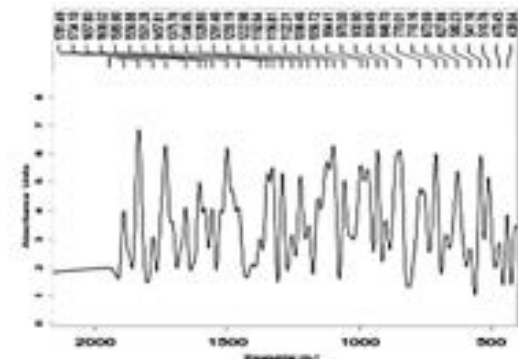
شکل ۳- طیف نگاری مادون قرمز پوشش‌های کامپوزیت  
الف) ۹۰S-۱۰T، ب) ۷۰S-۵۰T، پ) ۵۰T-۳۰S،  
ت) ۱۰S-۷۰T، ث) ۳۰S-۱۰T



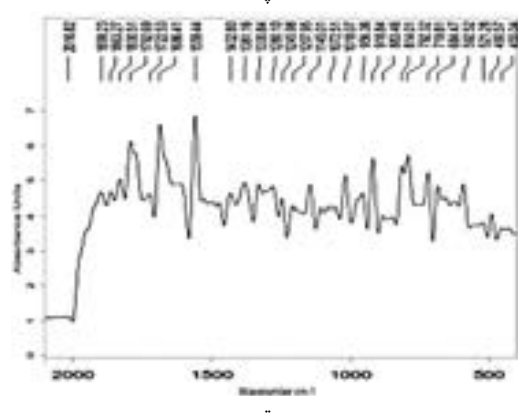
الف



ب



پ



ت

### ۲-۳- طیف نگاری عبور نور پوشش‌ها

در اشکال ۴ و ۵ طیف عبور نور به دست آمده از دستگاه UV-Vis در گستره ۳۰۰-۹۰۰ نانومتر برای پوشش‌های تک، چندلایه و کامپوزیت مشاهده می‌گردد. بیشینه عبور نمونه‌ها نیز در جداول ۴ و ۵ خلاصه شده است. همان طور که از شکل ۴ مشاهده می‌شود، پوشش تک لایه سیلیکا بیشینه عبور به میزان ۹۹٪ در حوالی تقریباً ۵۳۰ نانومتر دارد. همه پوشش‌های چندلایه که سیلیکا لایه بیرونی و آخرین لایه بر سطح می‌باشد، بیشینه عبورشان بیشتر از شیشه بدون پوشش با ۹۱٪ عبور نور می‌باشد. بیشترین میزان عبور نور در این پوشش‌ها مربوط به پوشش شش لایه TSTSTS با ۲۵٪ می‌باشد. شاید یکی از علت‌های آن عدم حضور پیوند Ti-O-Si و یا حضور غالب تیتانیا در این پوشش می‌باشد. بعلاوه پوشش‌های TS، TSTS و TSTSTS به علت چندلایه بودن در پهنای بیشتری از طول موج‌ها میزان عبور نور بیشینه می‌باشد. نکته دیگر اینکه در این سه نوع پوشش با افزودن لایه‌ها به ترتیب

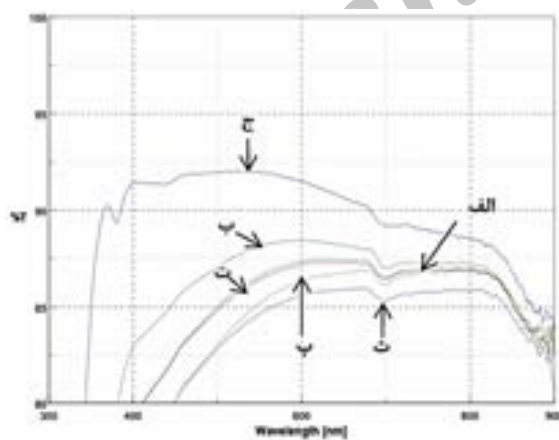


جدول ۴- بیشینه عبور نور پوشش‌های تک و چندلایه  
تیتانیا-سیلیکا

نمونه	بیشینه عبور %	موقعیت بیشینه عبور (cm <sup>-1</sup> )
۵۵۰-۴۵۰	۹۹	S
۶۳۰-۵۵۰	۸۹/۷۵	ST
۶۵۰-۵۵۰	۹۸/۷۵	STS
۶۱۰-۵۲۰	۸۹/۷۵	STST
۶۱۰-۵۲۰	۸۹/۵	STSTST
۶۵۰-۵۵۰	۸۹/۵	T
۸۰۰-۴۰۰	۹۴/۷۵	TS
۶۲۰-۵۰۰	۸۸	TST
۸۰۰-۴۰۰	۹۵/۲۵	TSTS
۶۵۰-۵۵۰	۹۹/۲۵	TSTSTS

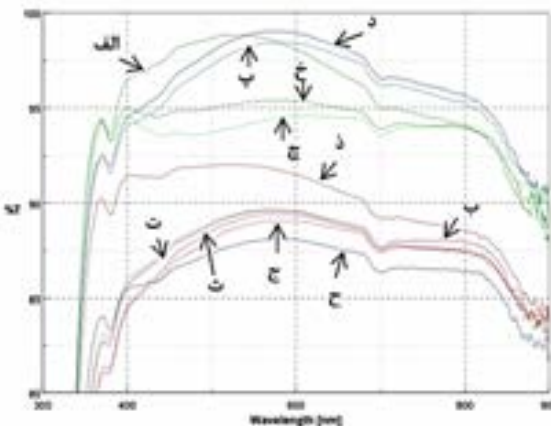
جدول ۵- بیشینه عبور نور پوشش‌های کامپوزیت تیتانیا-سیلیکا

نمونه	بیشینه عبور %	موقعیت بیشینه عبور (cm <sup>-1</sup> )
۸۰۰-۶۰۰	۸۸	S <sub>۹۰</sub> T-۱۰
۸۰۰-۶۰۰	۸۸/۵	S <sub>۷۰</sub> T-۳۰
۶۵۰-۵۵۰	۸۸/۵	S <sub>۵۰</sub> T-۵۰
۶۴۰-۶۰۰	۸۷/۵	S <sub>۳۰</sub> T-۷۰
۸۰۰-۶۰۰	۸۷	S <sub>۱۰</sub> T-۹۰



شکل ۵- طیف نگاری عبور نور پوشش‌های کامپوزیت  
الف) (۹۰S, ۱۰T-۹۰S), ب) (۳۰T-۷۰S, ۱۰T-۹۰S),  
پ) (۵۰T-۵۰S, ۱۰T-۹۰S), ج) (۳۰S, ۱۰T-۹۰S),  
د) (۳۰T-۷۰S, ۱۰T-۹۰S), ه) (۱۰T-۹۰S, ۱۰T-۹۰S),  
ز) (۱۰T-۹۰S, ۱۰T-۹۰S), د) شیشه بدون پوشش

بیشینه عبور نور افزایش می‌باید. این نشان از برتری تعداد لایه‌های بیشتر در کاهش بازتاب نور می‌باشد. پوشش sts نیز دارای بیشینه عبور نور به میزان ۹۸/۷۵٪ می‌باشد. شاید یکی از علت‌های آن غالب بودن فاز آمورف سیلیکا در پوشش می‌باشد. فاز آمورف سیلیکا به دلیل نبودن مرزدانه‌ها منجر به افزایش عبور نور می‌شوند. پوشش T دارای بیشینه عبور نور به میزان ۸۹/۵٪ می‌باشد. پوشش‌هایی که لاشه آخر آن‌ها تیتانیا می‌باشد، نیز بیشینه عبورشان تقریباً همین مقدار می‌باشد. نتایج نشان می‌دهد، ترتیب قرارگیری لاشه‌ها، تعداد لاشه‌ها و نوع ترکیب لاشه‌ها در میزان نور عبوری مؤثر است. در مورد پوشش‌های کامپوزیت بیشینه عبور تمام نمونه‌ها از شیشه بدون پوشش کمتر و تقریباً حوالی ۸۸ نانومتر می‌باشند. تقریباً از لحاظ عبوری رفتاری مانند تیتانیای خالص از خود به جا می‌گذارد. بهترین نمونه‌ها مربوط به پوشش S-۳۰S-T-۷۰T می‌باشد. ایجاد پیوندهای نسبتاً قوی Ti-O-Si ممکن است در کاهش میزان عبور نور نقش بسزایی داشته باشند.



شکل ۴- طیف نگاری عبور نور پوشش‌های الف) S, ب) (۹۰S, ۱۰T-۹۰S), ج) (۳۰T-۷۰S, ۱۰T-۹۰S), د) (۱۰T-۹۰S, ۱۰T-۹۰S), ه) (۱۰T-۹۰S, ۱۰T-۹۰S), ز) (۱۰T-۹۰S, ۱۰T-۹۰S), د) شیشه بدون پوشش

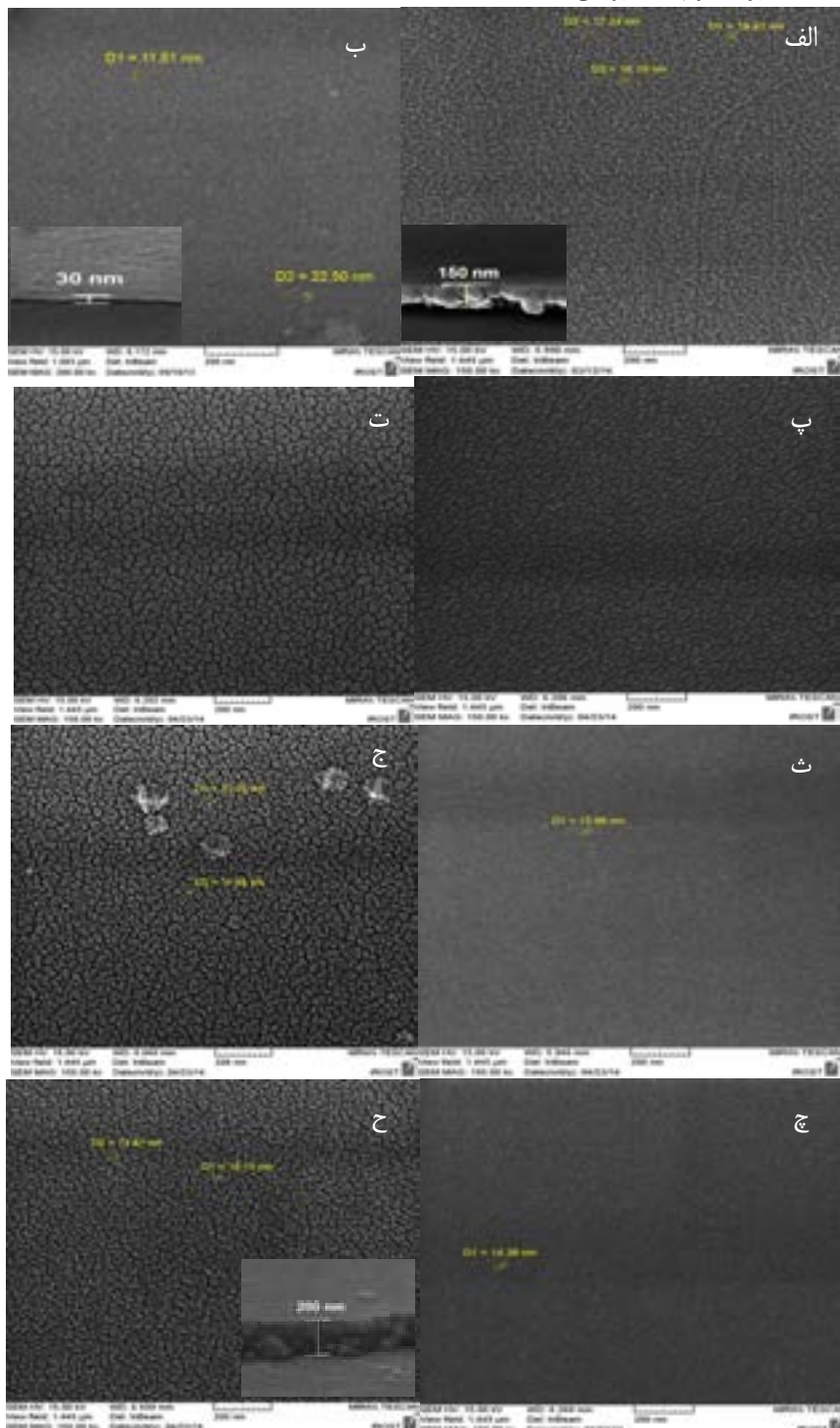


مورد ارزیابی قرار گرفت. تصاویر میکروسکوپی در شکل‌های

۶ و ۷ مشاهده می‌گردد.

### ۳-۳- بررسی میکروسکوپی پوشش‌ها

سطح پوشش‌ها توسط میکروسکوپ الکترونی FE-SEM

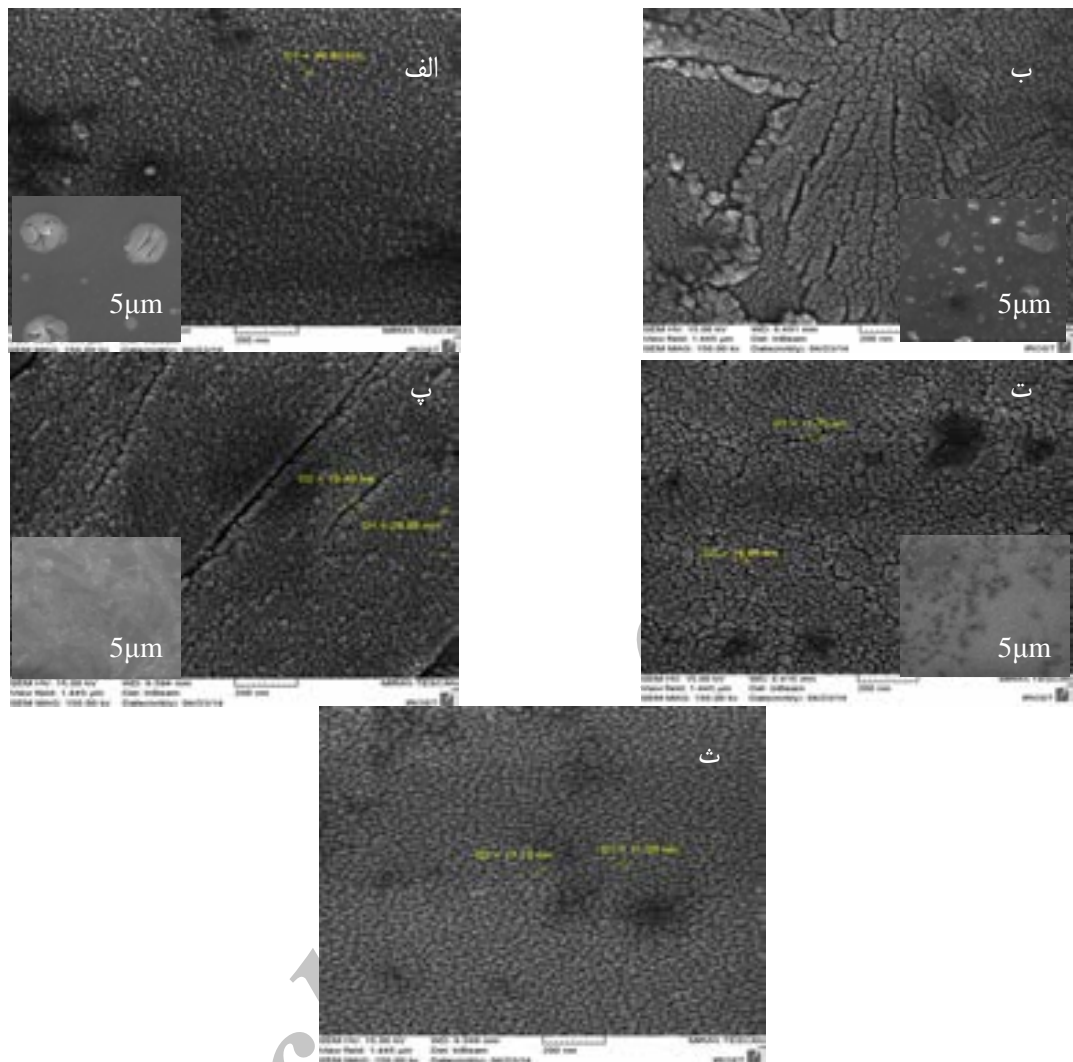


شکل ۶- تصاویر میکروسکوپی پوشش‌های (الف) TS, (ب) STS, (ت) ST, (پ) T, (ث) STST, (ج) STSTS, (ح) TSTSTS



تصاویر حاکی از غیر یکنواختی پوشش‌ها می‌باشند. در شکل مربوط به  $10T-90S$  نواحی دایره شکلی به وجود آمدند که یا ناشی از تشکیل جزیره‌ها و یا در اثر ترکیدن پوشش می‌باشند. در حالت  $30T-70S$  این نواحی کوچک‌تر و تعداد بیشتری حاصل شده است. رشد پوشش به صورت سوزنی و  $50T-50S$  میله‌ای بر سطح اتفاق افتاده است. در پوشش  $90T-10S$  پوشش کاسته شده و پوشش‌های  $70T-30S$  و  $20T-10S$  یکنواخت‌تر به نظر می‌رسند. لذا مقدار تیتانیا و سیلیکا در یکنواختی سطوح مؤثر می‌باشند. در مجموع این گونه پوشش‌ها از خود عبور خوبی نشان ندادند. یکی از دلایل آن، می‌تواند غیر یکنواختی سطح و شاید آگلومره شدن سطح دانست. ممکن است، قرار گرفتن همزمان تیتانیا و سیلیکا و پیوندهایی که مابین این دو در سل رخ داده منجر به بروز این رفتار شده باشد.

در شکل ۶ سطوحی که لایه بیرونی آن‌ها سیلیکا می‌باشند، با سطوح بیرونی تیتانیا متفاوت هستند. سطوح سیلیکا دارای ذرات ریز و متراکم و سطوح تیتانیا به صورت آگلومره شده مشاهده می‌شوند. ذرات تیتانیا کوچک و فعال می‌باشند، لذا آگلومره شدن اتفاق افتاده است. همین امر منجر به کاهش عبور نور در سطوح تیتانیا شده است. همه پوشش‌ها یکنواخت و بدون ترکمی می‌باشند، پوشش بدون ترک نشان دهنده عملیات حرارتی مناسب نمونه‌ها است. در پوشش دو لایه TS، سطح دارای ذرات نسبتاً بزرگی است که با لایه نشانی‌های بعدی ذرات کوچکتری در حالت چهار و شش لایه حاصل شده است. اندازه ذرات در این پوشش‌ها تقریباً بین ۱۵ تا ۳۰ نانومتر و اندازه بین ذرات در حد چند نانومتر می‌باشد. گپ‌های مابین ذرات در نتیجه عملیات حرارتی و تبخیر حلال می‌باشند. در اثر تبخیر ذرات ریزتر مابین گپ ذرات بزرگ‌تر قبلی قرار گرفته و مرزدانه‌های غیر مشخصی به وجود می‌آورند. نکته دیگر اینکه ضخامت تک لایه تیتانیا تقریباً ۳۰ نانومترو تک لایه سیلیکا تقریباً ۱۵۰ نانومتر می‌باشد، اما ضخامت چهار و شش لایه تقریباً ۲۰۰ نانومتر می‌باشد. در صورتیکه بایستی بیشتر از این مقدار باشد. زیرا نانوذرات جذب شده در حفرات لایه‌های قبلی می‌نشینند و منجر به ایجاد لایه‌ها، پوشش‌ها متراکم‌تر، بهم پیوسته‌تر و دانه ریزتر می‌گردند. ایجاد پوشش منسجم با نانوتخلخل‌های موجود در پوشش‌های با سطوح بیرونی سیلیکا، به افزایش میزان عبور نور کمک می‌کند. تصاویر پوشش‌های کامپوزیت در شکل ۷ مشاهده می‌شود.



شکل ۷- تصاویر میکروسکوپی پوشش‌های کامپوزیت

(الف) ۹۰T-۱۰S، (ب) ۷۰T-۳۰S، (پ) ۵۰T-۵۰S، (ث) ۱۰S-۱۰T

پوشش‌های تک، سه و شش لایه تیتانیا-سیلیکا بیشترین میزان عبور نور ورودی را دارا بودند. بیشینه عبور در این حالات ۹۹٪ می‌باشد. نتایج حاکی از این می‌باشد، ترتیب قرارگرفتن، تعداد لایه‌ها و ترکیب آن‌ها در میزان عبور نور مؤثر هست. پوشش‌های مؤثرتر در کاهش بازتاب، پیوندهای اضافی که منجر به کاهش میزان عبور نور در اثر تفرق نور می‌شوند، ندارند و به جای آن‌ها فازهای مؤثر سیلیکا و

#### ۴- نتیجه‌گیری

در این پژوهش پوشش‌های تک، چندلایه و کامپوزیت سیلیکا و تیتانیا به روش سل-ژل به خوبی بر سطح شیشه ایجاد شد. در همه پوشش‌های چندلایه‌ای که سیلیکا لایه آخرین آن‌ها بر سطح می‌باشد، بیشینه عبورشان بیشتر از شیشه بدون پوشش با ۹۱/۵٪ عبور نور است. به خصوص



- New South Wales Sydney2052, 2002, New South Wales, Australia.
- [8] D. Chen, "Anti-reflection (AR) coatings made by sol-gel processes: A review", *Solar Energy Materials & Solar Cells*, 68, 2001.
  - [9] Hodroj, O. Chaix-Pluchery, M. Audier, U. Gottlieb, J. Deschanvres "Thermal annealing of amorphous Ti-Si-O thin films", *Journal of Materials Research* 23, 2008, 37-55.
  - [10] D. B. Mahadik, R. V. Lakshmi, Harish C. Barshilia, "High performance single layer nano-porous antireflection coatings on glass by sol-gel process for solar energy applications", *Solar Energy Materials & Solar Cells* 140, 2015, 61-68.
  - [11] J. Zha, X. Lu, Z. Xin, "A rational design of double layer mesoporous polysiloxane coatings for broadband antireflection", *J Sol-Gel Sci Technol*, 2015.
  - [12] Schulera, D. Duttab, E. Chambriera, C. Roeckera, G. Temmermanc, P. Oelhafenc, J. Scartezzini, "Sol-gel deposition and optical characterization of multilayered  $\text{SiO}_2/\text{Ti}_{1-x}\text{Si}_x\text{O}_2$  coatings on solar collector glasses", *Solar Energy Materials & Solar Cells*, 2006, 2894-2907.
  - [13] L. Ye, Y. Zhang, X. Zhang, T. Hu, R. Ji, B. Ding, B. Jiang, "Sol-gel preparation of  $\text{SiO}_2/\text{TiO}_2/\text{SiO}_2-\text{TiO}_2$  broadband antireflective coating for solar cell cover glass", *Solar Energy Materials & Solar Cells* 111, 2013, 160-164.
  - [14] S. Lienna, D. S. Wuua, W. C. Yehb, J. C. Liuc, "Tri-layer antireflection coatings ( $\text{SiO}_2/\text{SiO}_2-\text{TiO}_2/\text{TiO}_2$ ) for silicon solar cells using a sol-gel technique", *Solar Energy Materials & Solar Cells* 90, 2006, 2710-2719.
  - [15] Y. Zhang, F. Gao, L. Gao, L. Hou, Y. Jia Study of tri-layer antireflection coatings prepared by sol-gel method. *J Sol-Gel Sci Technol* 62, 2012, 134-139.
  - [16] C. J. Brinker, M. T. Anderson, R. Ganguli, "Fundamentals of sol-gel film

تیتانیای بیشتری دارند. همه این موارد روی ضریب شکست کل پوشش و در نتیجه میزان بازتاب نور تأثیر می‌گذارد. پوشش‌های کامپوزیت تیتانیا-سیلیکا نتیجه مطلوبی از لحاظ عبور نور دربرنداشتند. یکی از علت‌های آن غیر یکنواختی پوشش می‌باشد که بر میزان عبور نور تأثیر می‌گذارد.

## مراجع

- [1] J. Deubener, G. Helsch, A. Moiseev, H. Bornhöf, "Glasses for solar energy conversion systems", *Journal of the European Ceramic Society*, 29, 2009, 1203-1210.
- [2] G. Helsch, A. Mös, J. Deubener, M. Holland, "Thermal resistance of nanoporous antireflective coatings on silica glass for solar tower receivers", *Solar Energy Materials & Solar Cells*, 94, 2010, 2191-2196.
- [3] G. S. Vicente, R. Bayo'n, N. Germa'n, A. Morales, "Surface modification of porous antireflective coatings for solar glass covers", *Solar Energy* 85, 2011, 676-680.
- [4] C. Xin, C. Peng, Y. Xu, J. Wu, "Effects of polysiloxane doping on transmittance and durability of sol-gel derived antireflective coatings for photovoltaic glass", *Solar Energy* 86, 2012, 3345-3352.
- [5] F. Chi, L. Yan, H. Lv, B. Jiang, "Novel pathways for the preparation of silica antireflective films: Improvement in mechanical property", *Materials Letters*, 65, 2011, 1095-1097.
- [6] J. Jaglarz, P. Karasinski, E. Skoczek, "Optical properties of silica antireflective films formed in sol-gel processes", *Phys. Status Solidi C* 8, No. 9, 2011, 2645-2648.
- [7] B. Richards, "Novel uses of titanium dioxide for silicon solar cells", *Centre for Photovoltaic Engineering and the School of Electrical Engineering University of*



- No. 5,2008,787–790.
- [27] A. Pirson, A. Mohsine, R. Marchot, B. Michaux, O. V. Cantfort, J. R. Pirard, "Synthesis of  $\text{SiO}_2\text{-TiO}_2$  Xerogels by Sol-Gel Process, Journal of Sol-Gel Science and Technology 4,1995,179-185.
- [28] J. Jiao, Q. Xu, L. Li, "Porous  $\text{TiO}_2/\text{SiO}_2$  composite prepared using PEG as template direction reagent with assistance of supercritical  $\text{CO}_2$ ", Journal of Colloid and Interface Science 316,2007, 596–603.
- [29] A. Verma, S. B. Samanta, A. K. Bakhshi, S. A. Agnihotry, "Effect of stabilizer on structural, optical and electrochemical properties of sol-gel derived spin coated  $\text{TiO}_2$  films", Solar Energy Materials & Solar Cells 88,2005, 47–64.
- [30] M. R. Golobostanfar, H. Abdizadeh, "Effects of acid catalyst type on structural, morphological, and optoelectrical properties of spin-coated  $\text{TiO}_2$  thin film", Physica B 413,2013, 40-46.
- [17] deposition", Sand 96-2647C, 1996.
- [18] <http://fa.wikipedia.org/wiki/> C. Chen, D. Lin, T. Don, F. Huang, L.Cheng,"Preparation of organic-inorganic nano-composites for antireflection coatings", Journal of Non-Crystalline Solids 354,2008, 3828–3835.
- [19] S. Kirtay, E. Oktay, V. Gunay, "Glass strengthening by  $\text{SiO}_2\text{-TiO}_2$  organically modified silica coating", Thin Solid Films 515,2006,2145–215.
- [20] R. K. Satvekar, M. R. Phadatare, V. A. Karande, R. N. Patil, B. M. Tiwale, S. H. Pawar Influence of Silane Content on the Optical Properties of Sol Gel Derived Spin Coated Silica Thin Films. International Journal of Basic and Applied Sciences, 1 (4),2012, 468-476.
- [21] D. A. Kumar, J. M. Shyla, P. F. Xavier, "Synthesis and characterization of  $\text{TiO}_2/\text{SiO}_2$  nano composites for solar cell applications", Appl Nanosci,2012.
- [22] Y. Y. Yu, W. C. Chien, J. M. Lin, H. H. Yu, "High transparent polyimide/titania multi-layer anti-reflective hybrid films", Thin Solid Films 519,2011, 4731–4736.
- [23] S. E. Babayan, J. Y. Jeong, A. Schutz, V. J. Tu, M. Moravej, G. S. Selwyn, R. F. Hicks, "Deposition of silicon dioxide films with a non-equilibrium atmospheric-pressure plasma jet", Plasma Sources Sci. Technol 10,2001, 573–57.
- [24] V. Purcar, I. Stamatin, O. Cintea, C. Petcu, V. Raditoiu, M. Ghiurea, T. Miclaus, A. Andronie, "Fabrication of hydrophobic and antireflective coatings based on hybrid silica films by sol-gel process", Surface & Coatings Technology 206, 2012, 4449-4454.
- [25] C. C. Vilma, F. S. Lameiras, M. Terezinha, C. Sansviero, A. B. Simões, W. L. Vasconcelos, "Preparation of CdS-containing silica-titania composites by the sol-gel process", Journal of Non-Crystalline Solids 348,2004, 190–194.
- [26] X. Zhang, H. Zheng, "Synthesis of  $\text{TiO}_2$ -doped  $\text{SiO}_2$  composite films and its applications", Bull. Mater. Sci., Vol. 31,